

Х. Хинов, Ст. Кемякосева, Г. Георгиев

Последователният инвертор-фиг. 1, е типичен преобразовател на постояннотокова енергия и характерен модел за развитието на електро-магнитния процес при симетричните вентилни схеми [1], дискретно превключвани с полупериод $T/2$.

Настоящото доказва закона за натрупване на енергията в реактивните елементи през преходния процес и на тази база открива възможност за директно третиране на установения режим, което е нов подход за този клас нелинейни схеми.

Използва се метода на фазовото пространство, което в случая е равнина. Така реакцията на обекта се отразява в комплексната равнина-фиг. 2 с реална ос, по която е нанесено кондензаторното напрежение U , отнесено към напрежението на източника E и бездимензионният ток, нанесен по имагенерната ос: $u = U/E$; $j i = \frac{I}{\omega L}$, кадето: $\omega = \sqrt{\frac{1}{LC} - \frac{R^2}{4L^2}}$ - е ъгловата скорост. Използва се също затихването $\delta = R/2L$, в неговия относителен вид $\Delta = \delta/\omega$.

След включване на първата двойка тиристори започва развитието на първия полупериод ΔT , който при нулеви начални условия отразява принудените колебания в обекта.

Интерпретирайки познатите диференциални връзки между параметрите на схемата, фазовата траектория Φ на електро-магнитния процес ще бъде логаритмична спирала, започваща от началото $(0, 0)$ и с център на въртене $(-1, 0)$ -фиг. 2.

Спиралата се изразява съответно от параметричните уравнения:

$$\begin{cases} u = -1 + e^{-\Delta \vartheta} \cos \vartheta \\ i = e^{-\Delta \vartheta} \sin \vartheta \end{cases}$$

или от комплексното си уравнение:

$$(1) \dots \dot{\Phi}_1(\vartheta) = -1 + e^{(-\Delta + j)\vartheta}$$

Като параметър е използван ъгъл $-\vartheta$, на радиус вектора описващ πT . Той е пропорционален на времето $\vartheta = \omega t$ и ограничен от максималният ъгъл в III: $\vartheta = \omega \frac{T}{2}$; $0 \leq \vartheta \leq \vartheta$.

Само експоненциалната част на 1 изразява радиус вектора на спиралата, който в края на III достига до граничната константа:

$$(2) \dots \dot{g} = e^{(-\Delta + j)\vartheta}$$

πT - (1) Достига до крайната си точка:

$$(3) \dots \dot{\Phi}_1 = -1 + \dot{g}$$

След завършване на първият III в инвертора се извършва комутация [1]. Без да навлезаме в подробностите на комутационният процес той се свежда до зомушването на първата двойка тиристор и отпушването на втората двойка тиристор. Това формално може да се представи, като моментно „обръщане“ на участъка от схемата спрямо останалата част от схемата - фиг. 3. Тогава токът и обратното - комутационно кондензаторно напрежение могат да бъдат изразени с помощта на комплексно спрягнато на (3):

$$(4) \dots \bar{\dot{\Phi}}_1 = 1 - \bar{\dot{g}}$$

Така резултата от първият III - (3), съответно преобразуван от комутацията става начално условие за втория III - (4).

Фазовата траектория на вторият III ще бъде също такова спирала, както първия III - (1), с начало в точка (4) и със същия център $(-1, 0)$:

$$(5) \dots \dot{\Phi}_2(\vartheta) = -1 + (1 + \bar{\dot{\Phi}}_1) \cdot e^{(-\Delta + j)\vartheta}$$

Подобно на (2), за края на втория III ще се получи:

$$(6) \dots \dot{\Phi}_2 = -1 + 2\dot{g} - \dot{g}\bar{\dot{g}}$$

Последното събираемо $\dot{g}\bar{g}$ е реална константа, равна на квадрата на модула на \dot{g} : $\dot{g}\bar{g} = |\dot{g}|^2 = g^2$.

В резултат на комутацията (6) ще се видоизмени в:

$$\dot{\Phi}_2 = 1 - 2\bar{g} + g^2$$

Този резултат може да бъде обобщен за произволен номер на полупериода, който ще има фазова траектория в начална точка:

$$(7) \dots \dot{\Phi}_n = 1 - 2\bar{g} + 2g^2 - 2g^2\bar{g} + \dots + g^n$$

Така уравнението на ФТ на трети ПП ще бъде подобно на (5):

$$\dot{\Phi}_3(\omega) = -1 + (1 + \dot{\Phi}_2) e^{(-\Delta + j)\omega}$$

а общо за произволно „ n “ уравненията на ФТ ще има вида:

$$(8) \dots \dot{\Phi}_n(\omega) = -1 + (1 + \dot{\Phi}_{n-1}) e^{(-\Delta + j)\omega}$$

Крайната точка на ФТ за трети ПП ще бъде:

$$(9) \dots \dot{\Phi}_3 = -1 + 2\dot{g} - 2g^2 + \dot{g}g^2$$

Използвайки метода на пълната математическа индукция за крайното значение на четвърти ПП ще имаме съответно:

$$(10) \dots \dot{\Phi}_4 = -1 + 2\dot{g} - 2g^2 + \dot{g}g^2 - g^4$$

Сравнявайки (8), (6), (9) и (10), могат да бъдат забелязани закономерностите, които са резултат от цикличното извършване на описаните операции – комутирание и развъртане.

при произволно голямо „ n “ ще имаме:

$$(11) \dots \dot{\Phi}_n = -1 + 2\dot{g} - 2g^2 + 2\dot{g}g^2 - \dots + 2\dot{g}g^{n-2} - g^n$$

Равенства (7), (8) и (11) са коректни за четен ПП, но не е трудно да се види и при нечетно „ n “. Изваждайки общите множители от (11), се получава:

$$(12) \dots \dot{\Phi}_n - 1 = 2(\dot{g} - 1)(1 + g^2 + g^4 + g^6 + \dots + g^n)$$

При безкрайно нарастване на „ n “, множители в последните скоби се класифицира като познатата геометрична прогресия. Имайки в предвид (2), не е трудно да се докаже, че прогресията е намаляваща, чиято граница директно ще дефинира установен режим

на инвертора: $\lim_{n \rightarrow \infty} \dot{\varphi}_n = \dot{\varphi}$

$$(13) \dots \dot{\varphi} = 1 - 2 \frac{1 - \dot{\beta}}{1 - \dot{\beta}^2}$$

Това е търсената граница на $\dot{\varphi}$ на обекта. Несложната структура на (13) показва, че много лесно може да се достигне директно до установен режим. Прилага се единствено граничен преход, вместо „обхождането“ на преходният процес.

парцеалните суми в последователните полупериоди (3), (6), (9), (10) изразяват натрупванията на енергия в ПП. Това геометрично лесно може да интерпретира, като събираемите от (3), (6), (9), (10) и т.н., са изразени на фиг. 4, чрез отсечки. Четните степени на $\dot{\beta}$ са реални и отрицателни числа, а нечетните са комплексни числа и ориентирани по посока на $\dot{\beta} - (2)$. Така се получава ограничена, стълбовидна начупена линия, като съответните парцеални суми са в средата на всяка отсечка. Намаляването на отсечките с увеличаването на степента им навежда на мисълта за сходимост на процеса.

установеният режим също може директно да бъде интерпретиран геометрически. За целта (13) се представя във вида:

$$(14) \dots \dot{\varphi} = 1 + \frac{2}{1 - \dot{\beta}^2} (\dot{\beta} - 1)$$

Така крайното значение при установен режим (14), се най-голямо лесно определя от комплекса $(\dot{\beta} - 1)$ и транспониран с +1 и умножен с константата $\frac{2}{1 - \dot{\beta}^2}$.

Ако спрямо (13) и (14) се приложи координатното преобразуване ще получим началното значение на $\dot{\varphi}$ при установен режим:

$$(15) \dots \bar{\varphi} = 2 \frac{1 - \bar{\beta}}{1 - \bar{\beta}^2} - 1$$

Съответно на направената установка, началните значения характерни за установен режим ще бъдат компоненти на $\bar{\varphi}$:

$$\begin{cases} u = \operatorname{Re}(\bar{\varphi}) \\ i = \operatorname{Im}(\bar{\varphi}) \end{cases}$$

Или в реални дименсии:

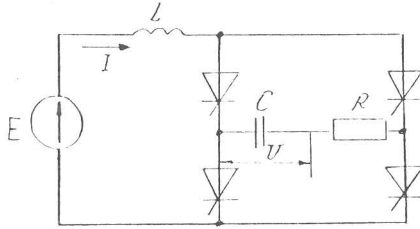
$$\begin{cases} U = E_0 \operatorname{Re}(\overline{ab}) \\ I = \frac{E}{\omega L} \operatorname{Im}(\overline{ab}) \end{cases}$$

Така посредством горното имаме изчерпателен модел за резултатите от пеходния процес - Фиг. 4 и резултата-установения режим-определен директно от (15), респективно от нейните реални и имагинерна съставки.

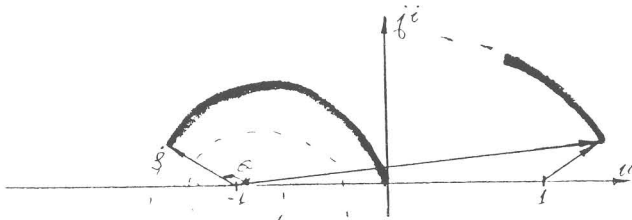
ЛИТЕРАТУРА

1. Ненчев Н. Г. Балеев. Силова електроника. С., Техника, 1979

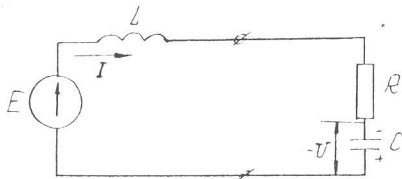
Схемы:



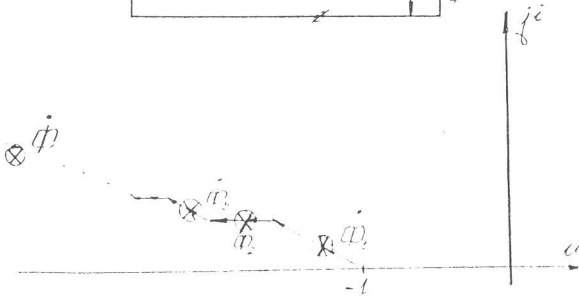
фиг. 1



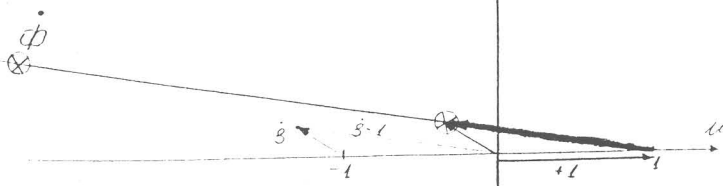
фиг. 2



фиг. 3



фиг. 4



фиг. 5